

01

## Взаимодействие простой волны Прандтля–Майера со слабо завихренным слоем

© А.В. Омельченко

С.-Петербургский государственный университет  
E-mail: vtmu@peterlink.ru

В окончательной редакции 23 мая 2002 г.

Решается задача взаимодействия центрированной волны разрежения со сдвиговым слоем для случая, когда завихренность потока в сдвиговом слое мала. Решение ищется в виде асимптотического ряда по малому параметру задачи. Система, получаемая в нулевом приближении, описывает течение в простой волне. С использованием метода деформированных координат строится равномерно пригодное разложение первого порядка.

В рамках модели идеального совершенного газа рассматривается взаимодействие изэнтропической центрированной волны разрежения  $I$  с вихревым (сдвиговым) слоем  $2$  конечной толщины (рис. 1). Область взаимодействия ограничена слева слабым разрывом  $A_1A_2A_3$ , являющимся продолжением слабого разрыва  $OA_1$ , разделяющего равномерное течение и волну Прандтля–Майера, снизу — исходящим из точки  $A_1$  пересечения слабых разрывов  $OA_1$  и  $QA_1$  слабым разрывом  $A_1F_1C_1$ . Числа Маха  $M_1$  и  $M_2$  в областях под и над сдвиговым слоем, распределение числа Маха  $M(y)$  поперек этого слоя, а также угол  $\varphi_2$  наклона, замыкающего простую волну слабого разрыва  $OB_1$ , считаются заданными.

Взаимодействие простой волны со сдвиговым слоем встречается при описании сверхзвуковых струйных течений [2], взаимодействия скачков уплотнения с простыми волнами [3], а также в задачах внешней аэродинамики [4,5]. Малость завихренности сдвигового слоя в этих задачах часто дает основание его пренебречь и считать течение потенциальным. Однако данное предположение приводит к физически некорректным следствиям (см., например, [4]) и не позволяет адекватно описать картину течения [2]. Основная цель представленной работы состоит



$$\frac{\partial P_3}{\partial x} + \operatorname{tg} \vartheta \frac{\partial P_3}{\partial y} = \frac{P_3}{2\Gamma(M) \cos^2 \vartheta} (P_2 - P_1),$$

$$\Gamma(M) = \frac{\gamma M^2}{A}, \quad A = \sqrt{M^2 - 1}, \quad (1)$$

$$\frac{\partial \vartheta}{\partial x} = \frac{P_2 \operatorname{tg}(\vartheta - \alpha) - P_1 \operatorname{tg}(\vartheta + \alpha)}{2\Gamma(M)},$$

$$\frac{\partial M}{\partial x} = \nu \left[ -P_3 \operatorname{tg} \vartheta + \frac{P_2 \operatorname{tg}(\vartheta - \alpha) - P_1 \operatorname{tg}(\vartheta + \alpha)}{2} \right],$$

$$\frac{\partial \vartheta}{\partial y} = \frac{P_1 - P_2}{2\Gamma(M)}, \quad \frac{\partial M}{\partial y} = \nu \left[ P_3 - \frac{P_1 + P_2}{2} \right], \quad \nu = \frac{\mu}{(1 + \varepsilon)M}.$$

Здесь  $\vartheta$  — угол наклона вектора скорости к оси абсцисс,  $\alpha = \arcsin(1/M)$ ,  $\gamma$  — показатель адиабаты,

$$Z = \frac{(M^2 - 2)}{2(M^2 - 1)} \frac{\mu}{(1 + \varepsilon)M^3}, \quad \psi = \frac{1}{2(1 + \varepsilon)M^2 \sqrt{M^2 - 1}},$$

$$\mu = 1 + \varepsilon(M^2 - 1), \quad \varepsilon = \frac{\gamma - 1}{\gamma + 1}.$$

Входящие в (1) функции

$$P_{1,2} = \frac{\partial \ln p}{\partial y} \pm \Gamma(M) \frac{\partial \vartheta}{\partial y}, \quad P_3 = \frac{\partial \ln p}{\partial y} + \frac{(1 + \varepsilon)M^2}{\mu} \frac{\partial \ln M}{\partial y}$$

характеризуют интенсивность малых возмущений, распространяющихся вдоль характеристик первого ( $P_1$ ) и второго ( $P_2$ ) семейств, а также вдоль линий тока ( $P_3$ ). Так, в простой волне Прандтля–Майера  $P_2 = P_3 = 0$ , а

$$P_1 = \frac{2(1 + \varepsilon)\sqrt{M^2 - 1} \cos^2(\vartheta + \alpha)}{x - c}. \quad (2)$$

Константа  $c$  меняется при переходе от одной характеристики первого семейства к другой. В центрированной волне эта величина постоянна во всей волне и равна абсциссе  $x_0$  центра  $(x_0, y_0)$  волны. Для волны  $I$

на рис. 1  $x_0 = y_0 = 0$ . В параллельном оси абсцисс сдвиговом слое 2 функции  $P_1 = P_2 = 0$ , а  $P_3$  пропорциональна величине завихренности:

$$P_3(y) = \frac{-1}{(\gamma - 1)} \frac{dS(y)}{dy} = \frac{(1 + \varepsilon)M(y)}{\mu(y)} \frac{dM(y)}{dy}. \quad (3)$$

Здесь  $M(y)$  и  $S(y)$  — распределение числа Маха и энтропии в сдвиговом слое.

Будем искать решение в области взаимодействия в виде

$$f = \sum_{k=0}^{\infty} \delta^k f^{(k)}, \quad \delta \rightarrow 0, \quad f \in \{A, \vartheta, P_1, P_2, P_3\}. \quad (4)$$

В нулевом приближении система (1) описывает течение в центрированной волне Прандтля–Майера, в которой  $P_2^{(0)} = P_3^{(0)} = 0$ , функция  $P_1^{(0)}$  определяется по формуле (2), а  $v^{(0)}$  и  $A^{(0)}$  связаны с числом Маха  $M_1$  в равномерном потоке до волны  $I$  и полярным углом  $\varphi$  соотношениями

$$\vartheta^{(0)} + \omega(M^{(0)}) = \omega(M_1), \quad A^{(0)} = \frac{1}{\sqrt{\varepsilon}} \operatorname{tg}(\sqrt{\varepsilon} [g(M_1) - \varphi]).$$

Перейдем в системе (1) к полярной системе координат, подставим в (1) ряды (4) и приравняем члены с одинаковыми степенями  $\delta$ . В результате для функций  $f^{(1)}$  получим

$$\begin{aligned} \frac{\partial P_3^{(1)}}{\partial \varphi} - r \operatorname{ctg}(\varphi - \vartheta^{(0)}) \frac{\partial P_3^{(1)}}{\partial r} &= \alpha_3(\varphi) P_3^{(1)}, \\ \frac{\partial P_2^{(1)}}{\partial \varphi} - r \operatorname{ctg}(\varphi + \alpha^{(0)} - \vartheta^{(0)}) \frac{\partial P_2^{(1)}}{\partial r} &= \alpha_{22}(\varphi) P_2^{(1)} + \alpha_{23}(\varphi) P_3^{(1)}, \\ \frac{D^{(1)}}{r} \frac{\partial \vartheta^{(0)}}{\partial \varphi} + \frac{\partial \vartheta^{(1)}}{\partial r} &= \alpha_{\vartheta 2}(\varphi) P_2^{(1)}, \quad D^{(1)} = \vartheta^{(1)} - \frac{A^{(1)}}{(M^{(0)})^2}, \\ \frac{D^{(1)}}{r} \frac{\partial A^{(0)}}{\partial \varphi} + \frac{\partial A^{(1)}}{\partial r} &= \alpha_{A2}(\varphi) P_2^{(1)} + \alpha_{A3}(\varphi) P_3^{(1)}, \\ \frac{D^{(1)}}{r} \frac{\partial P_1^{(0)}}{\partial \varphi} + \frac{\partial P_1^{(1)}}{\partial r} &= \alpha_{11}(\varphi) + \alpha_{12}(\varphi) P_2^{(1)} \\ &+ \alpha_{13}(\varphi) P_3^{(1)} + \alpha_{1\vartheta}(\varphi) \vartheta^{(1)} + \alpha_{1A}(\varphi) A^{(1)}. \end{aligned} \quad (5)$$

Как и исходная система (1), система (5) записана в инвариантах [1]. Кроме того, матрица правой части (5) является треугольной. Отмеченные обстоятельства позволяют получить аналитическое решение системы (5), последовательно, одно за другим решая входящие в нее линейные неоднородные уравнения в частных производных первого порядка относительно функций  $P_3^{(1)}$ ,  $P_2^{(1)}$ ,  $\vartheta^{(1)}$ ,  $A^{(1)}$  и  $P_1^{(1)}$ .

Следует отметить, что область взаимодействия неограничена по  $r$ . Последнее обстоятельство является причиной неравномерности полученного асимптотического разложения. Действительно, в результате интегрирования последних трех уравнений системы (5) вдоль характеристик первого семейства в выражениях для  $\vartheta^{(1)}$ ,  $A^{(1)}$  и  $P_1^{(1)}$  появляются секулярные члены вида  $r\alpha(\varphi)$ . Последнее делает разложение непригодным на больших расстояниях от стенки.

Для получения равномерно пригодного первого приближения воспользуемся методом деформируемых координат [6,7]. Перейдем от  $(r, \varphi)$  к деформированным переменным  $(s, t)$  по формулам

$$\varphi = s + \delta\varphi_2(s, t) + \dots, \quad r = t.$$

В результате такого перехода уравнение для  $\vartheta^{(1)}$  запишется так:

$$\frac{\partial \vartheta^{(1)}}{\partial t} - \frac{\partial \varphi_2}{\partial t} \frac{\partial \vartheta^{(0)}}{\partial s} - \frac{1}{t} \frac{\partial \vartheta^{(0)}}{\partial s} \left( \varphi_2 - \vartheta^{(1)} + \frac{A^{(1)}}{(M^{(0)})^2} \right) = \alpha_{\vartheta_2}(\varphi) P_2^{(1)}.$$

Выбирая  $\varphi_2$  из условия

$$\frac{\partial \varphi_2}{\partial t} + \frac{1}{t} \left( \varphi_2 - \vartheta^{(1)} + \frac{A^{(1)}}{(M^{(0)})^2} \right) = 0, \quad (6)$$

получаем, что

$$\frac{\partial \vartheta^{(1)}}{\partial t} = 0 \quad \implies \quad \vartheta^{(1)} = \vartheta^{(1)}(s).$$

При этом функция  $\vartheta^{(0)} + \delta\vartheta^{(1)}$  останется постоянной в области над вихревым слоем. Равенство (6) можно переписать так:

$$\frac{\partial}{\partial t} (t\varphi_2) = \vartheta^{(1)} - \frac{A^{(1)}}{(M^{(0)})^2} \implies \varphi_2(s, t) = \frac{1}{t} \tilde{\varphi}(s) + \frac{1}{t} \int_{t_0}^t \left[ \vartheta^{(1)} - \frac{A^{(1)}}{(M^{(0)})^2} \right] dt.$$

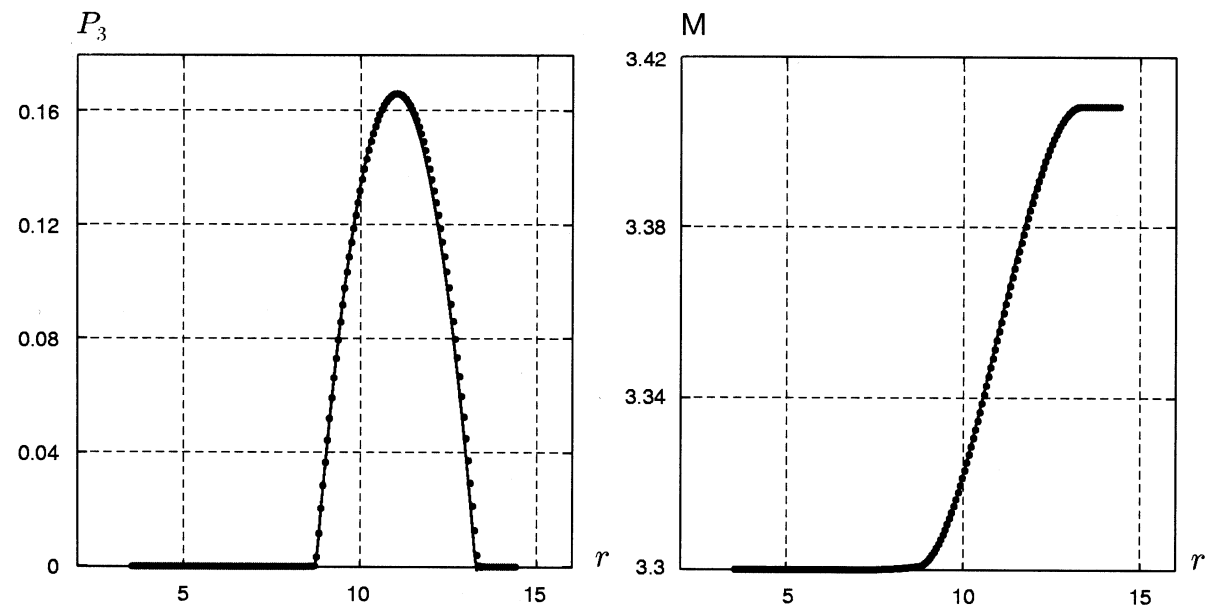


Рис. 2. Сравнение аналитических и численных результатов.

При  $t = t_0$  имеем течение в простой волне, в которой  $\varphi = s$ . Поэтому в последнем равенстве произвольную функцию  $\tilde{\varphi}(s)$  следует взять тождественно равной нулю. При таком выборе  $\tilde{\varphi}(s)$  параметрическая переменная  $s$  определяется следующим неявным соотношением:

$$\varphi = s + \frac{\delta}{t} \int_{t_0}^t \left[ \vartheta^{(1)} - \frac{A^{(1)}}{(M^{(0)})^2} \right] dt + O(\delta^2). \quad (7)$$

На рис. 2 представлены результаты расчетов распределения завихренности  $P_3$  и числа Маха  $M$  на замыкающей характеристике  $OB_3$  волны, полученные для случая  $M_1 = 3$ ,  $M_2 = 3.1$ ,  $M_{w1} = 3.3$ , а также распределения по кубической параболе профиля скорости в вихревом слое. При таких начальных условиях параметр  $\delta = 0.033$ . Сплошным кривым на рис. 2 отвечают данные, полученные с использованием асимптотического разложения, а кривым, построенным точками, — значения, рассчитанные с помощью метода характеристик. Как видно из рисунка, уже первое приближение дает неплохое совпадение с точным расчетом — максимальная относительная погрешность в определении числа Маха составляет величину порядка  $10^{-4}$ . Интересно, что увеличение завихренности не приводит к катастрофическому росту погрешности. Так, при числе Маха  $M_2 = 4$  параметр  $\delta$  оказывается равным 0.33, а максимальная относительная погрешность в определении  $M$  составляет величину порядка  $10^{-2}$ .

*Заключение.* В работе показано, что рассматриваемая задача относится к классу сингулярно возмущенных задач вихревой газовой динамики. С использованием метода деформируемых координат получено равномерно пригодное первое приближение.

Автор благодарен Э.А. Троппу за критические замечания, инициировавшие данное исследование, а также В.Р. Мешкову за помощь в проведении численных расчетов.

Работа выполнена при финансовой поддержке INTAS (проект N 99–785) и РФФИ (проект N 00–15–96106).

## Список литературы

- [1] *Рождественский Б.Л., Яненко Н.Н.* Системы квазилинейных уравнений и их приложения к газовой динамике. М.: Наука, 1968.
- [2] *Медведев А.Е., Фомин В.М.* // ПМТФ. 1998. Т. 39. № 3. С. 52–58.
- [3] *Li H., Ven-Dor G.* // AIAA Journal. 1996. V. 34. N 2. P. 418–421.
- [4] *Хейз У.Д., Пробстин Р.Ф.* Теория гиперзвуковых течений. М.: Иностранная лит-ра, 1962.
- [5] *Черный Г.Г.* Течения газа с большой сверхзвуковой скоростью. М.: Физматгиз, 1959.
- [6] *Найфэ А.* Введение в методы возмущений. М.: Мир, 1984.
- [7] *Ван-Дайк М.* Методы возмущений в механизме жидкости. М.: Мир, 1967.